

## 低速空気を使用した管水路直角分流の損失係数に関する一実験

北海道大学 工学部 正員 工博 山岡 輝

大学院 学生員 ○伊藤 金通

工学部 学生員 長谷川 和義

ダム非常放流管の直角分岐に関する管水路直角分流部の局所水理を  $\times 5$  倍にするとともに、接続部面取りのない支本管面積比のかなり小なる ( $S = A_p/A_a = 0.14$ ) 一例について、低速空気を水の代りに使用したものを主とした  $1 \sim 5 \times 10^5$  程度の Re 数の水理模型実験を行なつたので、エネルギー損失係数、圧力分布及び分流直下流の負圧領域の長さに関する報告を行なう。(使用方法は日本片吸式干管ターボポンプで風压  $1100 \text{ mmHg}$  供給量  $80 \text{ min}^{-1} 22 \text{ dm}^3/\text{min}$  )

## 1 低速空気を水の代りに使用する場合の誤差 管水路の一般的

水理模型実験に低速空気を使用すれば施設も簡単で実験も容易で、Re 数も同一模型で水の場合と大体同じくなるし Re 数のより大きな実験モデルも作り易い。ただし圧縮性による誤差の補正が問題であるが、本実験では圧力はピエゾメータをマニホールドに連結してとみ、流速流量の測定には管の流出口でピトー管を用いたので、fig. 1 にその場合の誤差率を示す。音速  $C$  ( $15^\circ \text{C}$  で約  $340 \text{ m/sec}$ ) の  $1/4$  程度までは誤差は極めて小さいので無修正とい、それ以上の場合は次式によって補正した。 $V = 2a\sqrt{1 + \frac{1}{4}(\frac{V_A}{C})^2 + (\frac{2-K}{340})(\frac{V_A}{C})^4} \dots \dots \dots (1)$

$V, V_A$ : 水及び空気の場合の流速( $\text{m/sec}$ )、 $K$ : 気体定数で空気では 1.4。また圧力水頭換算の場合空気の密度は、 $\rho_a = \frac{0.001293}{1 + 0.003676 \cdot 10^{13}} \frac{H}{10^3}$  ( $\text{kg/cm}^3$ )  $\dots \dots \dots (2)$

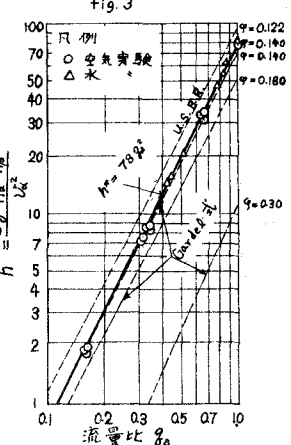
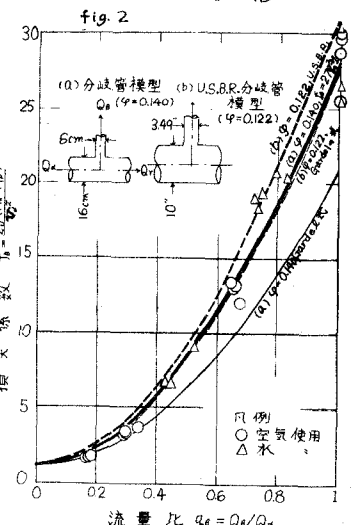
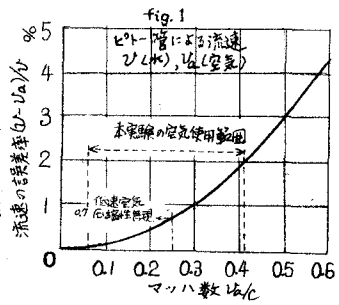
で、空気の温度  $t^\circ \text{C}$  と気圧  $H$  キルバルの補正を必要とする。

## 2 分流の損失係数に関する実験結果 fig. 2 (a) の如きアクリ

ル及ぶ壁比  $\beta$  のモデルについて、 $Q_{\beta p} = Q_p/Q_a$  を 4 種類にかけて  $Q_a$  を各 5 種類く 4 合せ、水使用の場合は 3 種類の  $Q_p$  と 3 種類の  $Q_a$  をくみ合せて実験を行なう。その結果が fig. 2 及び fig. 3 に示される。本研究では分流による壁面からのはく離、揚の発生による運動エネルギーの一部散逸という過程で損失するエネルギーと主管の速度水頭との比で無次元化した  $f_p$  を損失係数とする。 $f_p = (H_a - H_p)/\frac{V_A^2}{2g}$  ただし、 $H_a = h_a + \frac{V_A^2}{2g}$ 、 $H_p = h_p + \frac{V_A^2}{2g}$   $\dots \dots \dots (3)$

従って、 $f_p = h^* + 1 - (\frac{Q_p}{Q_a})^2$ 、ただし、 $h^* = \frac{h_a - h_p}{\frac{Q_p}{Q_a}}$ 、 $g^* = \frac{h_a - h_p}{Q_p}$   $\frac{Q_p}{Q_a} = \theta_p$   $\theta_p = Q_p/Q_a$   $\dots \dots \dots (4)$

Gardel (1957) は 11 種類の分流管について、Re 数が  $10^5$  程度の実験を行ない、一般的な形で実用に際し精度の高い式を出しているが、本実験の条件下  $\theta = 90^\circ$ 、 $\beta = 0.14$ 、 $g = 0$  を同式に入れた結果を fig. 2 に併せてのせると、かなり下の図示される。U.S.B.R. における Boulder ダムの水圧鉄管分岐



について行なわれた実験結果<sup>3)</sup>を fig. 2 に示したが、この場合  $\varphi = 0.122$  を Gardel の式に入れた曲線も U.S.B.R. の実験値より下方に図示されるといふことは、Gardel の実験範囲が  $\theta = 90^\circ$  のときは  $\varphi = 0.16$  が最も小さくかつ  $\varphi = 0.03$  で面取り半径が 0 では至りといふことで、外挿の範囲だからかと思われる。fig. 3 には  $h^*$  と  $f_D$  が示されているが、Gardel 式で  $\varphi$  を大きくしたものも記入してある。

fig. 2 で  $h^* = 78 \varphi_B^2 \dots (5)$  をえたので  $\varphi = 0.140$  とともに (4) 式に代入すれば

$f_D = 27 \varphi_B^2 + 1 \dots (6)$  となる。 $\varphi_B = 1$  のときは  $f_D = 28$  となる。次に管水路の水理模型実験はレイルズの相似律によりかけたが  $f_D$  と  $Re$  数との関係を  $\varphi_B$  をパラメータにして fig. 4 に示す。実物の  $Re$  は  $8 \times 10^6$  程度であるが fig. 4 で  $Re$  数は十分大であると認められる。fig. 2, fig. 3, fig. 4 において空気使用と水による水理実験の結果が良い適合を示しているものと考える。

### 3 分流部下流の負圧領域の長さと圧力分布

次に  $h^*$  は分流直前の  $h_{\infty}$  と分歧下流 37cm の  $h_B$  の差を無次元化したものだが、分流直下流の圧力変化的状況は fig. 5 の  $\varphi_B = 0.65$  における 1 例の如くである。ここで着目されることは、負圧の水頭は  $Q_2$  の半分を下る程度の値となるが、 $h_{\infty} = 0$  の位置は  $Q_2$  によって変わらないことである。この差を  $X = X(cm)$  とする、 $X$  は負圧領域の長さを表す（即ち離流線の reattachment の点とみなす）。

$\varphi_B$  との関係が fig. 6 に示す。  $\varphi_B$  と明瞭な相関を示す。支管断面の圧力分布の 1 例が fig. 5 に示されるが、本管上流域側が大きな負圧を示し、下流域側が最も小さい。fig. 6 において  $d, e, f$  の  $X$  は  $g$  より同一曲線上の点とみなすが、 $f$  の  $X$  のみは下方の第 2 次同一の  $\varphi_B$  に対し短かい  $X$  となる。

次に 負圧領域内の圧力分布について fig. 7 の  $h_{\infty}, h_B$  と

他の形で無次元化すると fig. 5 において各種  $Q_2$  によって变つた値を示す

圧力水頭が一直線となり横軸の距離  $X$  と  $X$  の比の形で整理すると、負圧領域内の圧力分布は  $\varphi_B$  から 0.32 位までにはほぼ同一曲線上のもの、 $\varphi_B$  の小さなものは又々かかることなく下方にずれるようである。分歧下流 2cm のビニヤメータと右壁部の間の  $h_{\infty}/h_B$  の値のピークがあらはすのである。

実験に協力された白鶴川開発（金沢市）、越後川開発（新潟市）に感謝を表す。

ばく露領域の形状と負圧分布との関係、 $\varphi_B$  の  $X$  の影響の試験と今後の研究は Momentum 方程式と連続式による解析計算の必要。

参考文献

1) J.W. Ball: Model Tests Using Low Velocity Air, Proc. of A.S.C.E., 196. 27, Jun. 1951

2) 土木学会: 水理公式集 昭38年

3) U.S. Bureau of Reclamation: Model Studies of Penstocks & Outlets Works, Boulder Final Reports, Part VI, 1938

Fig. 4

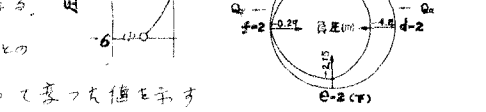


Fig. 4

次に  $h^*$  は分流直前の  $h_{\infty}$  と分歧下流 37cm の  $h_B$  の差を無次元化したものだが、分流直下流の圧力変化的状況は fig. 5 の  $\varphi_B = 0.65$  における 1 例の如くである。ここで着目されることは、負圧の水頭は  $Q_2$  の半分を下る程度の値となるが、 $h_{\infty} = 0$  の位置は  $Q_2$  によって変わらないことである。この差を  $X = X(cm)$  とする、 $X$  は負圧領域の長さを表す（即ち離流線の reattachment の点とみなす）。

$\varphi_B$  との関係が fig. 6 に示す。  $\varphi_B$  と明瞭な相関を示す。支管断面の圧力分布の 1 例が fig. 5 に示されるが、本管上流域側が大きな負圧を示し、下流域側が最も小さい。fig. 6 において  $d, e, f$  の  $X$  は  $g$  より同一曲線上の点とみなすが、 $f$  の  $X$  のみは下方の第 2 次同一の  $\varphi_B$  に対し短かい  $X$  となる。

次に 負圧領域内の圧力分布について fig. 7 の  $h_{\infty}, h_B$  と

他の形で無次元化すると fig. 5 において各種  $Q_2$  によって变つた値を示す

圧力水頭が一直線となり横軸の距離  $X$  と  $X$  の比の形で整理すると、負圧領域内の圧力分布は  $\varphi_B$  から 0.32 位までにはほぼ同一曲線上のもの、 $\varphi_B$  の小さなものは又々かかることなく下方にずれるようである。分歧下流 2cm のビニヤメータと右壁部の間の  $h_{\infty}/h_B$  の値のピークがあらはすのである。

実験に協力された白鶴川開発（金沢市）、越後川開発（新潟市）に感謝を表す。

ばく露領域の形状と負圧分布との関係、 $\varphi_B$  の  $X$  の影響の試験と今後の研究は Momentum 方程式と連続式による解析計算の必要。

参考文献

1) J.W. Ball: Model Tests Using Low Velocity Air, Proc. of A.S.C.E., 196. 27, Jun. 1951

2) 土木学会: 水理公式集 昭38年

3) U.S. Bureau of Reclamation: Model Studies of Penstocks & Outlets Works, Boulder Final Reports, Part VI, 1938

Fig. 5



Fig. 5

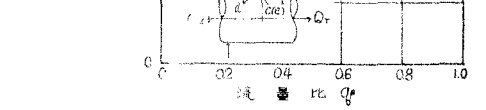


Fig. 7